

307

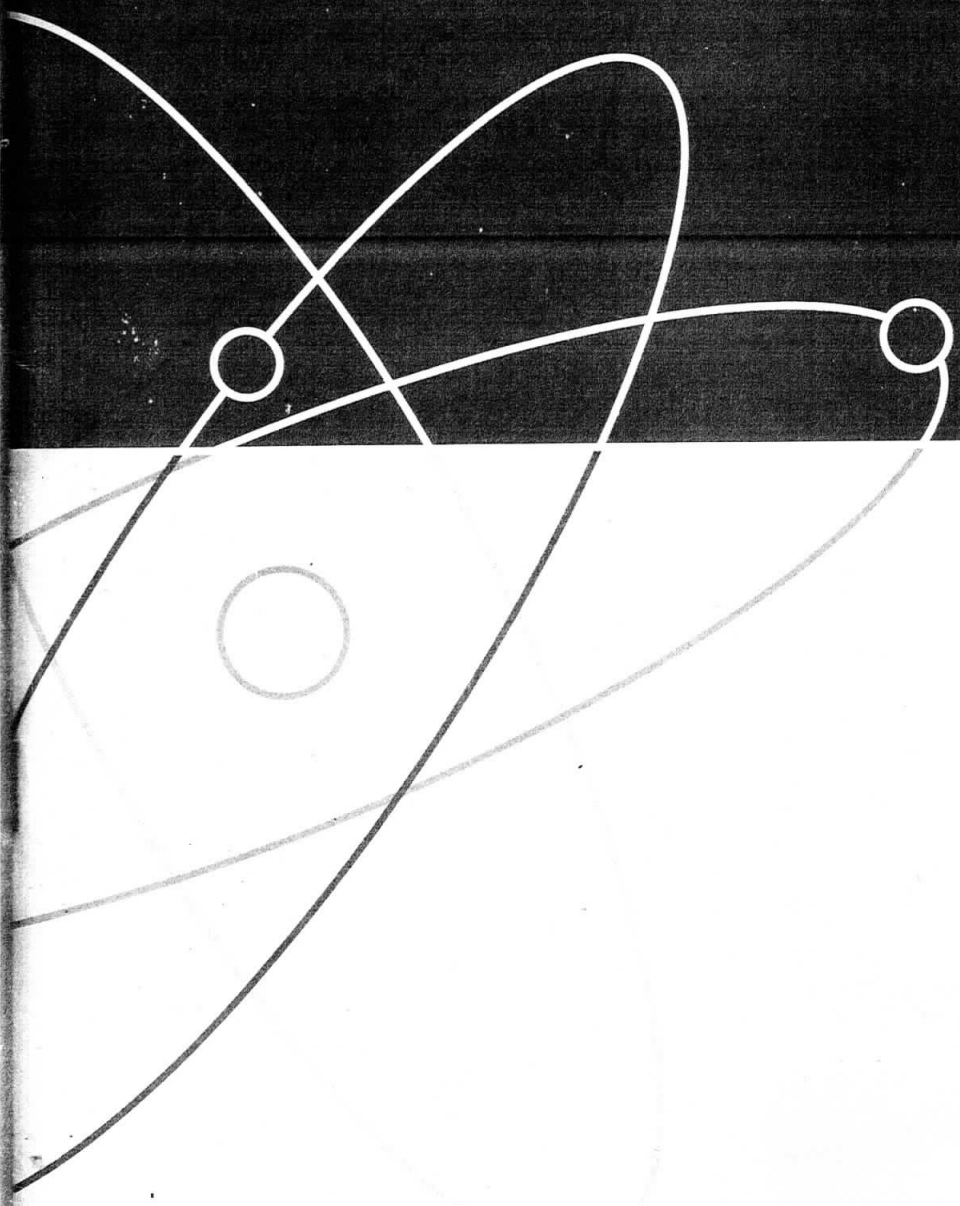
307

Том 57, № 2 (620)
февраль 2014

ISSN 0021-3470

РАДИОЭЛЕКТРОНИКА

ИЗВЕСТИЯ
ВЫСШИХ УЧЕБНЫХ
ЗАВЕДЕНИЙ



ИЗДАНИЕ
НАЦИОНАЛЬНОГО
ТЕХНИЧЕСКОГО
УНИВЕРСИТЕТА
УКРАИНЫ
«КИЕВСКИЙ
ПОЛИТЕХНИЧЕСКИЙ
ИНСТИТУТ»

УДК 621.391

ОБНАРУЖЕНИЕ СТОХАСТИЧЕСКОГО ОБЪЕКТА ПО ИЗОБРАЖЕНИЮ С НЕИЗВЕСТНЫМИ ПАРАМЕТРАМИ ПРИ НАЛИЧИИ ФОНА*

ТРИФОНОВ А. П., ПРИБЫТКОВ Ю. Н.

*Воронежский государственный университет,
Россия, Воронеж, 394006, Университетская пл., д. 1*

Аннотация. Рассмотрен случай, когда изображение имеет неизвестные площадь, регулярную составляющую, а также интенсивность случайной составляющей. Синтезирован алгоритм максимального правдоподобия обнаружения стохастического изображения с неизвестными параметрами. Получены характеристики алгоритма и проведен анализ влияния характеристик изображения и аппликативного фона на эффективность обнаружения

Ключевые слова: гауссовское изображение; фон; пространственный шум; неизвестная площадь; неизвестная интенсивность; аппликативная модель; эффективность обнаружения

Активно развивающиеся в настоящее время системы автоматического анализа изображений основаны на многоэтапных процедурах, которые могут включать такие стадии как сегментация и классификация участков изображения, обнаружение и различение изображений объектов, оценка параметров. Так в ряде задач дистанционного зондирования одним из этапов обработки часто является обнаружение объектов по их изображениям, часть или все параметры которых априори неизвестны.

Во многих случаях изображения, полученные в результате дистанционного зондирования, имеют стохастическую структуру и могут быть описаны моделью случайного гауссовского поля [1, 2]. В отличие от хорошо изученных задач обнаружения одномерных случайных сигналов, при обработке изобра-

жений необходимо учитывать не только аддитивный шум, но и фон, обусловленный подстилающей поверхностью. Наличие фона может существенно повлиять как на характеристики обнаружения изображения [3], так и на характеристики оценки его параметров, таких как площадь [4].

В [3] рассмотрена задача обнаружения изображения с неизвестной площадью при наличии аппликативного фона и пространственного шума, однако регулярная составляющая и интенсивность случайной составляющей предполагались известными. В ряде задач дистанционного зондирования, таких как обнаружение неоднородностей, неизвестными являются не только площадь, но и интенсивность изображения неоднородности и его регулярная составляющая.

* Работа выполнена при поддержке РФФИ (проекты № 13-01-97504 и № 13-08-00735).

Авторами рассмотрена задача обнаружения гауссовского стохастического изображения с неизвестными математическим ожиданием, интенсивностью и площадью, наблюдаемого на гауссовском фоне в непрерывном пространстве с учетом эффекта затенения фона. Выполнен синтез нового алгоритма обнаружения и найдены асимптотические выражения для его характеристик.

Пусть в результате дистанционного зондирования в двумерной области G доступна наблюдению реализация случайного поля $x(\mathbf{r})$. Здесь $\mathbf{r}=(r_1, r_2)$ — радиус-вектор точки на плоскости, принадлежащей G . Поле $x(\mathbf{r})$ может включать в себя полезное изображение объекта $s(\mathbf{r})$, пространственный шум $n(\mathbf{r})$ и фоновое излучение $\nu(\mathbf{r})$. Это излучение обусловлено рассеянием зондирующего сигнала подстилающей поверхностью, на которой находится обнаруживаемый объект [1]. Будем считать, что изображение занимает область Ω_s , площадь которой равна χ_0 и неизвестна, т.е. $\Omega_s \equiv \Omega(\chi_0)$, где функция $\Omega(\chi)$ описывает форму изображения с площадью χ и может быть представлена с помощью индикатора

$$I(\mathbf{r}, \chi) = \begin{cases} 1, & \mathbf{r} \in \Omega_s, \\ 0, & \mathbf{r} \notin \Omega_s. \end{cases}$$

Для учета проявляющихся на практике эффектов затенения фона воспользуемся аппликативной моделью взаимодействия изображения и фона [1], согласно которой наблюдаемая реализация при наличии изображения (гипотеза H_1) может быть представлена в виде

$$H_1: x(\mathbf{r}) = I(\mathbf{r}, \chi_0)s(\mathbf{r}) + [1 - I(\mathbf{r}, \chi_0)]\nu(\mathbf{r}) + n(\mathbf{r}),$$

где χ_0 — истинное значение неизвестной площади полезного изображения χ , которое принимает значение из интервала $[\chi_{\min}, \chi_{\max}]$. При отсутствии изображения (гипотеза H_0) наблюдаемая реализация содержит только фон и пространственный шум

$$H_0: x(\mathbf{r}) = \nu(\mathbf{r}) + n(\mathbf{r}).$$

Далее предполагаем, что изображение $s(\mathbf{r})$ и фон $\nu(\mathbf{r})$ представляют собой однородные статистически взаимно независимые гауссовские поля с математическими ожиданиями a_s , a_ν и корреляционными функциями $B_s(\mathbf{r})$, $B_\nu(\mathbf{r})$. Также будем считать, что спектральные плотности изображения

$$G_s(\omega) = \int_{-\infty}^{\infty} B_s(\mathbf{r}) \exp(-j\omega\mathbf{r}) d\mathbf{r}$$

и фона

$$G_\nu(\omega) = \int_{-\infty}^{\infty} B_\nu(\mathbf{r}) \exp(-j\omega\mathbf{r}) d\mathbf{r},$$

постоянны в пределах областей пространственных частот ω_s и ω_ν , соответственно. Вне этих областей спектральные плотности изображения и фона равны нулю, т.е.

$$G_s(\omega) = g_s I(\omega, \omega_s),$$

$$G_\nu(\omega) = g_\nu I(\omega, \omega_\nu),$$

где $I(\omega, \omega) = 1$, при $\omega \in \omega$ и $I(\omega, \omega) = 0$, при $\omega \notin \omega$.

Положим, что пространственный шум $n(\mathbf{r})$ взаимно независим с изображением и фоном и представляет собой реализацию центрированного белого гауссовского шума с нулевым средним и односторонней спектральной плотностью N_0 .

Задача состоит в обнаружении изображения с неизвестными площадью χ , математическим ожиданием a_s и нормированной интенсивностью $q_s = 2g_s / N_0$.

Рассмотрим алгоритм обнаружения изображения с неизвестными параметрами a_s , q_s и χ , основанный на методе максимального правдоподобия. Согласно этому методу, как известно [6], неизвестные значения параметров заменяются на их оценки максимального правдоподобия (ОМП). Поскольку ОМП являются

соответствующими аргументами наибольшего значения логарифма функционала отношения правдоподобия (ФОР), то алгоритм обнаружения сводится к сравнению с порогом h логарифма ФОР $L(\chi, a_s, q_s)$, максимизированного по набору неизвестных параметров:

$$L = \sup_{\chi, a_s, q_s} L(\chi, a_s, q_s) \begin{matrix} > \\ < \end{matrix} \begin{matrix} H_1 \\ H_0 \end{matrix}, \quad \chi \in [\chi_{\min}, \chi_{\max}]$$

Явный вид логарифма ФОР $L(\chi, a_s, q_s)$ для проверки гипотезы H_1 против альтернативы H_0 при известных параметрах изображения получен в [5]. Обобщая этот результат на случай неизвестной площади, получим

$$L(\chi, a_s, q_s) = \frac{1}{N_0} \left\{ \frac{q_s}{1+q_s} Y_{1s}(\chi) - \frac{q_v}{1+q_v} Y_{2s}(\chi) + 2 \left[\frac{a_s}{1+q_s} - \frac{a_v}{1+q_v} \right] X_s(\chi) - \chi \left[\frac{a_s^2}{1+q_s} - \frac{a_v^2}{1+q_v} \right] \right\} - \frac{\chi}{\chi_{\min}} \mu_s \ln[1+q_s] + \frac{\chi}{\chi_{\min}} \mu_v \ln[1+q_v], \quad (1)$$

где

$$X_s(\chi) = \int_{\Omega(\chi)} x(\mathbf{r}) d\mathbf{r}, \quad Y_{is}(\chi) = \int_{\Omega(\chi)} y_i^2(\mathbf{r}) d\mathbf{r},$$

$$i=1,2,$$

$y_i(\mathbf{r})$ — сигналы на выходах пространственных фильтров с передаточными функциями $|H_1(\omega)|^2 = I(\omega, \omega_s)$, $|H_2(\omega)|^2 = I(\omega, \omega_v)$, $q_v = 2g_v / N_0$ — нормированная интенсивность фона, $\mu_s = \chi_{\min} S_{\omega_s} / 4\pi^2$ — число степеней свободы изображения, $\mu_v = \chi_{\min} S_{\omega_v} / 4\pi^2$ — число степеней свободы фона, S_{ω_s} и S_{ω_v} площади областей ω_s и ω_v на плоскости частот, занимаемые, соответственно, спектральными плотностями полезного изображения $G_s(\omega)$ и фона $G_v(\omega)$.

Максимизируя (1) по неизвестным значениям a_s, q_s , получаем:

$$L(\chi) = \sup_{a_s, q_s} L(\chi, a_s, q_s) = \frac{1}{N_0} \times \left[Y_{1s}(\chi) - \frac{q_v}{1+q_v} Y_{2s}(\chi) \right] - \frac{2}{N_0} \frac{a_v}{1+q_v} X_s(\chi) - \frac{\chi}{2\chi_{\min}} \mu_s \left[1 + \ln \left[\frac{2}{N_0} \frac{\chi_{\min}}{\chi} \frac{1}{\mu_s} \left(Y_{1s}(\chi) - \frac{X_s^2(\chi)}{\chi} \right) \right] \right] + \frac{\chi}{N_0} \frac{a_v^2}{1+q_v} + \frac{\chi}{2\chi_{\min}} \mu_v \ln[1+q_v]. \quad (2)$$

Тогда алгоритм обнаружения сводится к поиску абсолютного (наибольшего) максимума функционала (2) и сравнению его с порогом

$$L = \sup_{\chi} L(\chi) \begin{matrix} > \\ < \end{matrix} \begin{matrix} H_1 \\ H_0 \end{matrix}, \quad \chi \in [\chi_{\min}, \chi_{\max}]$$

Таким образом, для реализации алгоритма требуется формирование трех функций $Y_{1s}(\chi)$, $Y_{2s}(\chi)$ и $X_s(\chi)$, зависящих от реализации наблюдаемых данных в пределах области $\Omega(\chi)$, предположительно занимаемой изображением с площадью χ .

Обычно эффективность алгоритма обнаружения характеризуют величинами вероятностей ошибки ложной тревоги α и ошибки пропуска сигнала β [6, 7]. Согласно определению [6, 7], возможно записать

$$\alpha = P[H_1 | H_0] = P[\sup_{\chi} L(\chi) > h | H_0] = P[L > h | H_0],$$

$$\beta = P[H_0 | H_1] = P[\sup_{\chi} L(\chi) < h | H_1] = P[L < h | H_1],$$

где через $P[H_i | H_j]$, $i, j = 0, 1$ обозначена вероятность принятия решения о справедливости гипотезы H_i тогда как верна гипотеза H_j . Таким образом, для нахождения α и β необходимо опреде-

лить вероятности превышения максимумом логарифма ФОП (2) порога h и не превышения, соответственно. Для этого необходимо располагать законом распределения случайной величины $L = \sup_{\chi} \mathcal{L}(\chi)$ при обеих гипотезах $H_i, i = 0, 1$.

Согласно [6–8], при $\mu_s \rightarrow \infty, \mu_v \rightarrow \infty$ распределение $Y_{1s}(\chi), Y_{2s}(\chi)$ и логарифма ФОП (1) при фиксированном неизвестном параметре χ сходится к гауссовскому. Тем не менее, логарифм ФОП (2) содержит логарифмическое слагаемое от функций наблюдаемых данных и прямое обобщение результатов [6–8] на рассматриваемый случай может оказаться некорректным.

Рассмотрим статистические свойства этого слагаемого при условии, что минимальная площадь изображения χ_{\min} велика настолько, что

$$\mu_s \gg 1, \quad \mu_v \gg 1. \quad (3)$$

Обозначим

$$A(\chi) = \frac{2}{N_0} \frac{\chi_{\min}}{\chi} \frac{1}{\mu_s} (Y_{1s}(\chi) - X_s^2(\chi)/\chi). \quad (4)$$

Представим это выражение в виде

$$A(\chi) = m_A(\chi) \left[1 + \frac{\sigma_A(\chi)}{m_A(\chi)} \xi_A(\chi) \right],$$

при $m_A(\chi) \neq 0$, где $\xi_A(\chi)$ — центрированный случайный процесс с единичной дисперсией, $m_A(\chi)$ и $\sigma_A^2(\chi)$ — математическое ожидание и дисперсия $A(\chi)$. Вычисляя $m_A(\chi), \sigma_A^2(\chi)$ в точке истинного значения площади при отсутствии и

наличии изображения, получаем (5) (см. внизу 46).

В (5) $\varphi = S_{\omega_{sv}} / \sqrt{S_{\omega_s} S_{\omega_v}}$ — коэффициент, определяющий степень перекрытия областей, занимаемых спектральными плотностями полезного изображения и фона, $S_{\omega_{sv}}$ — площадь области перекрытия этих областей.

Из (5) следует, что при $\mu_s \rightarrow \infty$ отношение $\sigma_A(\chi_0) / m_A(\chi_0) \rightarrow 0$ при обеих гипотезах. Путем более громоздких вычислений аналогичный результат может быть получен для любого $\chi \in [\chi_{\min}, \chi_{\max}]$. Тогда при выполнении условия (3), аналогично [7], возможно использовать приближенное равенство

$$\begin{aligned} \ln A(\chi) &\approx \ln m_A(\chi) + \frac{\sigma_A(\chi)}{m_A(\chi)} \xi_A(\chi) = \\ &= \ln m_A(\chi) + \frac{A(\chi)}{m_A(\chi)} - 1. \end{aligned} \quad (6)$$

Подставляя (6) в (2) с учетом (4), получим

$$\begin{aligned} \mathcal{L}(\chi) &\approx \frac{1}{N_0} \left[\frac{m_A(\chi) - 1}{m_A(\chi)} Y_{1s}(\chi) - \frac{q_v}{1 + q_v} Y_{2s}(\chi) \right] - \\ &- \frac{2}{N_0} \frac{a_v}{1 + q_v} X_s(\chi) + \frac{1}{N_0} \frac{X_s^2(\chi)}{\chi m_A(\chi)} + \frac{\chi}{N_0} \frac{a_v^2}{1 + q_v} - \\ &- \frac{\chi}{2\chi_{\min}} \mu_s \ln m_A(\chi) + \frac{\chi}{2\chi_{\min}} \mu_v \ln [1 + q_v]. \end{aligned} \quad (7)$$

$$\begin{aligned} \frac{\sigma_A(\chi_0|H_0)}{m_A(\chi_0|H_0)} &= \frac{1}{\sqrt{\mu_s}} \frac{\sqrt{2 \frac{\chi_{\min}}{\chi_0} \left[(1 + q_{v0})^2 \left(\sqrt{\frac{\mu_v}{\mu_s}} \varphi - \frac{\chi_{\min}}{\chi_0 \mu_s} \right) + 1 - \sqrt{\frac{\mu_v}{\mu_s}} \varphi \right]}}{\left[(1 + q_{v0}) \left(\sqrt{\frac{\mu_v}{\mu_s}} \varphi - \frac{\chi_{\min}}{\chi_0 \mu_s} \right) + 1 - \sqrt{\frac{\mu_v}{\mu_s}} \varphi \right]}, \\ \frac{\sigma_A(\chi_0|H_1)}{m_A(\chi_0|H_1)} &= \sqrt{\frac{2}{\mu_s \frac{\chi_0}{\chi_{\min}} - 1}}, \end{aligned} \quad (5)$$

Обозначим через $m_{X_s}(\chi)$ и $\sigma_{X_s}^2(\chi)$ математическое ожидание и дисперсию гауссовского процесса $X_s(\chi)$. Тогда, подставляя выражение $X_s(\chi) = m_{X_s}(\chi) + \sigma_{X_s}(\chi)\xi_{X_s}(\chi)$ в (7), получаем

$$L(\chi) \approx L_G(\chi) + D(\chi)\xi_{X_s}^2(\chi)$$

где

$$L_G(\chi) = \frac{1}{N_0} \left[\frac{m_A(\chi) - 1}{m_A(\chi)} Y_{1s}(\chi) - \frac{q_v}{1+q_v} Y_{2s}(\chi) \right] +$$

$$+ 2X_s(\chi) \frac{1}{N_0} \left(\frac{1}{\chi} \frac{m_{X_s}(\chi)}{m_A(\chi)} - \frac{a_v}{1+q_v} \right) -$$

$$- \frac{\chi}{N_0} \left(\frac{1}{\chi} \frac{m_{X_s}^2(\chi)}{m_A(\chi)} - \frac{a_v^2}{1+q_v} \right) - \frac{\chi}{2\chi_{\min}} \mu_s \ln m_A(\chi) +$$

$$+ \frac{\chi}{2\chi_{\min}} \mu_v \ln [1+q_v] \quad (8)$$

— асимптотически гауссовская при $\mu_s \rightarrow \infty$, $\mu_v \rightarrow \infty$ составляющая логарифма ФОП, $\xi_{X_s}(\chi)$ — гауссовский случайный процесс с нулевым средним и единичной дисперсией,

$$D(\chi) = \sigma_{X_s}^2(\chi) / [\chi N_0 m_A(\chi)]$$

Таким образом логарифм ФОП (2) при выполнении условий (3) приближенно может быть представлен в виде суммы гауссовского процесса $L_G(\chi)$ и процесса $D(\chi)\xi_{X_s}^2(\chi)$, значения которого подчиняются гамма распределению. Рассмотрим первые два момента обоих слагаемых.

Вычислив дисперсию $\sigma_{X_s}^2(\chi)$ и математическое ожидание $m_A(\chi)$ при обеих гипотезах, получим следующие выражения для $D(\chi)$:

$$D(\chi | H_1) =$$

$$= \left[\frac{\min(\chi_0, \chi)}{\chi} (1+q_{s0}) + \left[1 - \frac{\min(\chi_0, \chi)}{\chi} \right] (1+q_v) \right]$$

$$\times \left[1 + \frac{\min(\chi_0, \chi)}{\chi} q_{s0} - \sqrt{\frac{\mu_v}{\mu_s}} \Phi \left[1 - \frac{\min(\chi_0, \chi)}{\chi} \right] \right] q_v$$

$$- \frac{\chi_{\min}}{\chi} \frac{1}{\mu_s} \left[\left(\frac{\min(\chi_0, \chi)}{\chi} (1+q_{s0}) + \right. \right.$$

$$\left. \left. + \left[1 - \frac{\min(\chi_0, \chi)}{\chi} \right] (1+q_v) \right) + a_{s0}^2 \frac{2}{N_0} \min(\chi_0, \chi) + \right.$$

$$\left. + a_v^2 \frac{2}{N_0} [\chi - \min(\chi_0, \chi)] - \frac{1}{\chi} \frac{2}{N_0} \times \right.$$

$$\left. \times (a_{s0} \min(\chi_0, \chi) + a_v [\chi - \min(\chi_0, \chi)])^2 \right]^{-1},$$

$$D(\chi | H_0) = (1+q_{v0}) \times$$

$$\times \left[1 + \sqrt{\mu_v / \mu_s} \Phi q_{v0} - \chi_{\min} (1+q_v) / (\chi \mu_s) \right]^{-1}.$$

Используя приближение (3), находим выражения для математических ожиданий m_{L_G} и корреляционных функций B_{L_G} логарифма ФОП $L_G(\chi)$ (7):

при гипотезе H_1

$$m_{L_G}(\chi | H_1) = (\min(\chi, \chi_0) k_1 +$$

$$+ [\chi - \min(\chi, \chi_0)] k_2) / \chi_0,$$

$$B_{L_G}(\chi_1, \chi_2 | H_1) = (\min(\chi_0, \chi_1, \chi_2) d_1 +$$

$$+ [\min(\chi_1, \chi_2) - \min(\chi_0, \chi_1, \chi_2)] d_2) / \chi_0 -$$

$$- c_2 (\max(\chi_1, \chi_0) + \max(\chi_2, \chi_0) - 2\chi_0) / \chi_0,$$

при гипотезе H_0

$$m_{L_G}(\chi | H_0) = k\chi / \chi_0,$$

$$B_{L_G}(\chi_1, \chi_2 | H_0) = c_1 \min(\chi_1, \chi_2) / \chi_0.$$

Здесь приняты сокращения (9) (см. внизу с 48).

Сравнивая данные характеристики, с характеристиками логарифма ФОП (1), полученными в [3], возможно показать, что при наличии изображения

$$m_{LG}(\chi|H_1) \approx m_L(\chi|H_1),$$

$$B_{LG}(\chi_1, \chi_2|H_1) \approx B_L(\chi_1, \chi_2|H_1) - c_2(\max(\chi_1, \chi_0) + \max(\chi_2, \chi_0) - 2\chi_0) / \chi_0,$$

где $m_L(\chi|H_1)$, $B_L(\chi_1, \chi_2|H_1)$ — математическое ожидание и корреляционная функция логарифма ФОП (1), полученного при априорных известных значениях a_s и q_s .

На основе полученных выражений сравним поведение дисперсии гауссовской составляющей $D_{LG}(\chi_0|H_i) = B_{LG}(\chi_0, \chi_0|H_i)$, $i=0$, и величины $D(\chi_0)$ при $\mu_s \rightarrow \infty$ и $\chi = \chi_0$. При наличии изображения в принятой реализации наблюдаемых данных дисперсия гауссовской составляющей логарифма ФОП имеет вид

$$D_{LG}(\chi_0|H_1) = \chi d_1 / \chi_0.$$

$$k_1 = \frac{1}{2} \frac{\chi_0}{\chi_{\min}} \left[\mu_s q_{s0} - \mu_v \frac{q_v}{1+q_v} - \sqrt{\mu_s \mu_v} \varphi q_{s0} \frac{q_v}{1+q_v} + \frac{2}{N_0} \chi_0 \frac{[a_{s0} - a_v]^2}{1+q_v} + \mu_v \ln[1+q_v] - \mu_s \ln[1+q_{s0}] \right],$$

$$k_2 = \frac{1}{2} \frac{\chi_0}{\chi_{\min}} \left[\mu_s \frac{q_{s0}}{1+q_{s0}} - \mu_v q_v - \sqrt{\mu_s \mu_v} \varphi q_v \frac{q_{s0}}{1+q_{s0}} - \frac{2}{N_0} \chi_0 \frac{[a_{s0} - a_v]^2}{1+q_{s0}} + \mu_v \ln[1+q_v] - \mu_s \ln[1+q_{s0}] \right],$$

$$k = \frac{1}{2} \frac{\chi_0}{\chi_{\min}} \left\{ \mu_s \frac{\sqrt{\frac{\mu_v}{\mu_s} \varphi q_v}}{1 + \sqrt{\frac{\mu_v}{\mu_s} \varphi q_v}} - \mu_v q_v - \sqrt{\mu_s \mu_v} \varphi q_v \frac{\sqrt{\frac{\mu_v}{\mu_s} \varphi q_v}}{1 + \sqrt{\frac{\mu_v}{\mu_s} \varphi q_v}} + \mu_v \ln[1+q_v] - \mu_s \ln \left[1 + \sqrt{\frac{\mu_v}{\mu_s} \varphi q_v} \right] \right\},$$

$$d_1 = \frac{1}{2} \frac{\chi_0}{\chi_{\min}} \left\{ \mu_s q_{s0}^2 + \mu_v \left[\frac{q_v}{1+q_v} \right]^2 + \sqrt{\mu_s \mu_v} \varphi \left(\left[\frac{q_{s0} - q_v}{1+q_v} \right]^2 - \left[\frac{q_v}{1+q_v} \right]^2 - q_{s0}^2 \right) + \frac{4\chi_{\min}}{N_0} (a_{s0} - a_v)^2 \frac{1+q_{s0}}{(1+q_v)^2} \right\},$$

$$d_2 = \frac{1}{2} \frac{\chi_0}{\chi_{\min}} \left\{ \mu_s \left(\frac{q_{s0}}{1+q_{s0}} \right)^2 + \mu_v q_v^2 + \sqrt{\mu_s \mu_v} \varphi \left(\left(\frac{q_{s0} - q_v}{1+q_{s0}} \right)^2 - \left(\frac{q_{s0}}{1+q_{s0}} \right)^2 - q_v^2 \right) + \frac{4\chi_{\min}}{N_0} (a_{s0} - a_v)^2 \frac{1+q_v}{(1+q_{s0})^2} \right\},$$

$$c_1 = \frac{1}{2} \frac{\chi_0 q_v^2}{\chi_{\min} (1 + \sqrt{\mu_v / \mu_s} \varphi q_v)^2} \left\{ \mu_s (\sqrt{\mu_v / \mu_s} \varphi)^2 + \mu_v q_v^2 + \sqrt{\mu_s \mu_v} \varphi q_v^2 \times \right.$$

$$\left. \times \left((1 - \sqrt{\mu_v / \mu_s} \varphi)^2 - (\sqrt{\mu_v / \mu_s} \varphi)^2 - 1 \right) + \frac{2\chi_{\min}}{N_0} \frac{(1 - \sqrt{\mu_v / \mu_s} \varphi)^2}{[1+q_v]} (a_{s0} - a_v)^2 \right\},$$

$$c_2 = \frac{1}{2} \frac{\chi_0}{\chi_{\min}} \left\{ \left(\mu_s \frac{q_{s0}}{1+q_{s0}} - \sqrt{\mu_s \mu_v} \varphi \frac{q_v}{1+q_v} \right) \left(q_{s0} + \sqrt{\frac{\mu_v}{\mu_s} \varphi q_v} \right) + \frac{2}{N_0} \chi_{\min} \frac{1+q_v}{(1+q_{s0})^2} (a_{s0} - a_v)^2 \right\} \quad (9)$$

Из (9) следует, что при неограниченном увеличении числа степеней свободы изображения и фона $d_1 \rightarrow \infty$, если интенсивности случайных составляющих изображения q_{s0} и фона q_v отличны от нуля. Параметр

$$D(\chi_0 | H_1) = [1 - \chi_{\min} / \chi_0 \mu_s]^{-1} \rightarrow 1$$

при $\mu_s \rightarrow \infty$. Отсюда следует, что при гипотезе H_1 вклад негауссовской составляющей логарифма ФОП уменьшается с увеличением числа степеней свободы μ_s и μ_v .

Аналогичный вывод можно сделать и при отсутствии изображения, поскольку

$$D_{L_G}(\chi_0 | H_0) = c_1 \rightarrow \infty,$$

при $\mu_v \rightarrow \infty$ и $q_v \neq 0$, тогда как параметр $D(\chi_0 | H_0)$ стремится к конечной величине

$$D(\chi_0 | H_0) \rightarrow (1 + q_v) [1 + \sqrt{\mu_v / \mu_s \phi q_v}]^{-1} \leq (1 + q_v)$$

при $\mu_v \rightarrow \infty, \mu_s \rightarrow \infty$.

Поэтому при $q_{s0} > 0, q_v > 0$ и выполнении условия (3) негауссовской составляющей логарифма ФОП возможно пренебречь, положив $L(\chi) \approx L_G(\chi)$. Это позволяет найти характеристики алгоритма обнаружения в гауссовском приближении.

Сравнивая логарифмы ФОП $L_G(\chi)$ (8) и $L(\chi, a_s, q_s)$ (1) возможно сделать вывод, что эти выражения имеют одинаковую структуру и отличаются только детерминированными слагаемыми, а также коэффициентами при случайных функциях $Y_{1s}(\chi), Y_{2s}(\chi)$ и $X_s(\chi)$. В [3] показано, что в окрестности истинного значения параметра χ_0 логарифм ФОП $L(\chi, a_s, q_s)$ (1) может быть аппроксимирован гауссовским марковским процессом. Поэтому $L(\chi) \approx L_G(\chi)$ также приближенно возможно считать гауссовским марковским процессом в окрестности истинного значения площади χ_0 . Следовательно, для полного в статистическом смысле описания логарифма ФОП $L(\chi)$ необходимо найти начальную плотность вероятности и вероятность перехода [8].

В рассматриваемом случае начальной плотностью вероятности будет одномерная плотность вероятности логарифма ФОП при $\chi = \chi_{\min}$. Поскольку $L(\chi)$ является асимптотически гауссовским процессом при выполнении (3) то начальная плотность вероятности имеет вид

$$W(L, \chi_{\min} | H_i) = \frac{1}{\sigma_{L_G}(\chi_{\min} | H_i) \sqrt{2\pi}} \times \exp \left\{ - \frac{(L - m_{L_G}(\chi_{\min} | H_i))^2}{2\sigma_{L_G}^2(\chi_{\min} | H_i)} \right\}, \quad (10)$$

где $\sigma_{L_G}^2(\chi_{\min} | H_i) = B_{L_G}(\chi_{\min}, \chi_{\min} | H_i), i = 0, 1$.

Для вычисления вероятности перехода, найдем коэффициенты сноса

$$M_1(\chi) =$$

$$= \lim_{\Delta\chi \rightarrow 0+} \langle [L_{IG}(\chi + \Delta\chi) - L_{IG}(\chi)] | L_{IG}(\chi) \rangle / \Delta\chi$$

и диффузии логарифма ФОП $L(\chi)$

$$M_2(\chi) =$$

$$= \lim_{\Delta\chi \rightarrow 0+} \langle [L_{IG}(\chi + \Delta\chi) - L_{IG}(\chi)]^2 | L_{IG}(\chi) \rangle / \Delta\chi$$

в окрестности истинного значения площади, где $|\chi - \chi_0| / \chi_0 \ll 1$. Возможно показать, что если интенсивность изображения отлична от нуля, а площадь χ_0 велика настолько, что наряду с (3) выполняются условия

$$\mu_s \gg \max\{1 + 1/q_{s0}, \{|q_{s0} - q_v|\},$$

$$\{2\chi_0(a_{s0} - a_v)^2 / [\min(1, q_{s0})N_0]\} \chi_{\min} / \chi_0,$$

тогда искомые коэффициенты имеют вид:

при гипотезе H_1

$$M_1(\chi | H_1) = \frac{1}{\chi_{\min}} \begin{cases} k_1, & \chi_{\min} \leq \chi \leq \chi_0, \\ -k_2, & \chi_0 < \chi \leq \chi_{\max} \end{cases}$$

$$M_2(\chi | H_1) = \frac{1}{\chi_{\min}} \begin{cases} d_1, & \chi_{\min} \leq \chi \leq \chi_0, \\ d_2, & \chi_0 < \chi \leq \chi_{\max}, \end{cases} \quad (11)$$

при гипотезе H_0

$$\begin{aligned} M_1(L|H_0) &= -k / \chi_{\min}, \\ M_2(L|H_0) &= c_1 / \chi_{\min}. \end{aligned} \quad (12)$$

Решая уравнения Фоккера–Планка–Колмогорова с коэффициентами (11) и (12) при начальных (10) и соответствующих граничных условиях, аналогично [7] находим вероятности ложной тревоги и пропуска сигнала:

$$\begin{aligned} \alpha(h) &= 1 - \frac{1}{\sqrt{2\pi}} \int_0^\infty \exp\left[-\frac{(x-h_1-\hat{z}_N)^2}{2}\right] \times \\ &\times \left\{ \Phi\left(\hat{z}_N \sqrt{\frac{\chi_{\max}-\chi_{\min}}{\chi_{\min}}} + x \sqrt{\frac{\chi_{\min}}{\chi_{\max}-\chi_{\min}}}\right) - \right. \\ &\quad \left. - \exp(-2x\hat{z}_N) \times \right. \quad (13) \\ &\times \Phi\left(\hat{z}_N \sqrt{\frac{\chi_{\max}-\chi_{\min}}{\chi_{\min}}} - x \sqrt{\frac{\chi_{\min}}{\chi_{\max}-\chi_{\min}}}\right) \Big\} dx, \\ \beta(h) &= \frac{1}{\sqrt{2\pi}} \int_0^\infty \exp\left[-\frac{(x+z_1)^2 + h_2^2 - 2h_2z_1}{2}\right] \times \\ &\times \left\{ \Phi\left(z_N \sqrt{\frac{\chi_{\max}-\chi_0}{\chi_{\min}}} + xC \sqrt{\frac{\chi_0}{\chi_{\max}-\chi_0}}\right) - \right. \\ &\quad \left. - \exp\left(-2xCz_N \sqrt{\frac{\chi_0}{\chi_{\min}}}\right) \times \right. \\ &\times \Phi\left(z_N \sqrt{\frac{\chi_{\max}-\chi_0}{\chi_{\min}}} - xC \sqrt{\frac{\chi_0}{\chi_{\max}-\chi_0}}\right) \Big\} \times \\ &\times \left\{ \exp(xh_2) \Phi\left(h_2 \sqrt{\frac{\chi_0-\chi_{\min}}{\chi_{\min}}} + x \sqrt{\frac{\chi_{\min}}{\chi_0-\chi_{\min}}}\right) - \right. \\ &\quad \left. - \exp(-xh_2) \times \right. \end{aligned}$$

$$\times \Phi\left(h_2 \sqrt{\frac{\chi_0-\chi_{\min}}{\chi_{\min}}} - x \sqrt{\frac{\chi_{\min}}{\chi_0-\chi_{\min}}}\right) \Big\} dx, \quad (14)$$

где использованы обозначения

$$\begin{aligned} h_1 &= h / \sqrt{d_2}, & \hat{z}_N^2 &= k^2 / c_1, \\ z_1^2 &= k_1^2 \chi_0 / d_1 \chi_{\min}, & h_2 &= h \sqrt{\chi_{\min} / d_1 \chi_0}, \\ C^2 &= d_1 / d_2, \end{aligned}$$

$\Phi(y) = \int_{-\infty}^y \exp(-x^2/2) dx / \sqrt{2\pi}$ — интеграл вероятности.

Найденные выражения позволяют провести анализ эффективности работы алгоритма максимального правдоподобия для различных статистических характеристик полезного изображения и фона, а также определить степень влияния их различия на эффективность обнаружения.

Вероятность пропуска сигнала (14), полученная при неизвестных χ , a_s и q_s совпадает с вероятностью пропуска сигнала, полученной в [3] для неизвестной площади и априори известных значениях a_s , q_s . Поэтому возможно сделать вывод, что при выполнении условия (3) незнание математического ожидания a_s и относительной интенсивности изображения q_s асимптотически не оказывает влияния на вероятность пропуска сигнала. Таким образом, отличие в эффективности обнаружения изображения с неизвестными a_s и q_s по сравнению со случаем обнаружения изображения с известными a_s и q_s определяется увеличением вероятности ложной тревоги.

Для оценки этого отличия воспользуемся критерием Неймана–Пирсона [6], согласно которому порог h в формулах (13), (14) определяется по заданной вероятности ложной тревоги ε , т. е. является решением уравнения:

$$\alpha(h) = \varepsilon. \quad (15)$$

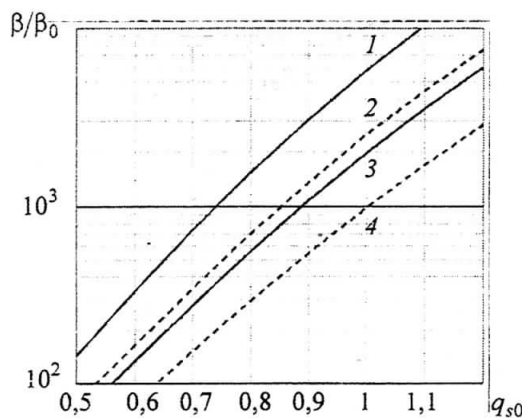


Рис. 1

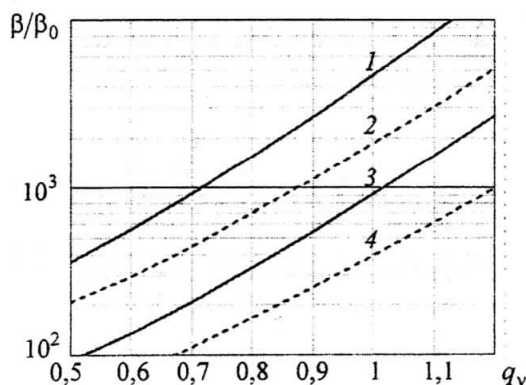


Рис. 2

Решая численно это уравнение, получим значение порога \hat{h} , подставив которое в (14), найдем значение вероятности пропуска сигнала $\beta = \beta(\hat{h})$ при неизвестных a_s и q_s . Для случая известных a_s и q_s подставим в (15) вместо $\alpha(h)$ (13) выражение для ложной тревоги $\alpha(h, a_s, q_s)$, полученное в [3].

Пусть \hat{h}_0 — порог, полученный в результате численного решения уравнения $\alpha(h, a_s, q_s) = \varepsilon$. Тогда, подставляя \hat{h}_0 в (14), получим соответствующее значение пропуска сигнала $\beta_0 = \beta(\hat{h}_0)$ для случая известных a_s и q_s .

На рис. 1 сплошными линиями приведены зависимости относительного увеличения вероятности пропуска сигнала β/β_0 при фиксированном значении ложной тревоги $\varepsilon = 10^{-3}$, от истинного значения относительной интенсив-

ности изображения q_{s0} при различных значениях относительной интенсивности фона q_v . Эти кривые построены в предположении, что спектральные плотности изображения и фона не перекрываются, так что $\varphi = 0$. Кроме того, при построении зависимостей выбраны следующие параметры: $\chi_0 = 0,5\chi_{\max}$, $\chi_{\min} = 0,1\chi_{\max}$, $a_{s0} = a_v$, $\mu_s = \mu_v = 200$. Кривые 1, 2 рассчитаны при $q_v = 0,8$, кривые 3, 4 при $q_v = 0,6$. Штриховые кривые на рис. 1 соответствуют вероятности ложной тревоги $\varepsilon = 10^{-4}$.

На рис. 2 при тех же условиях построены зависимости проигрыша β/β_0 от интенсивности фона q_v при различных значениях интенсивности изображения q_{s0} . Здесь сплошные кривые соответствуют вероятности ложной тревоги $\varepsilon = 10^{-3}$, а штриховые — $\varepsilon = 10^{-4}$. Кривые 1, 2 рассчитаны при $q_{s0} = 0,8$, кривые 3, 4 — при $q_{s0} = 0,6$.

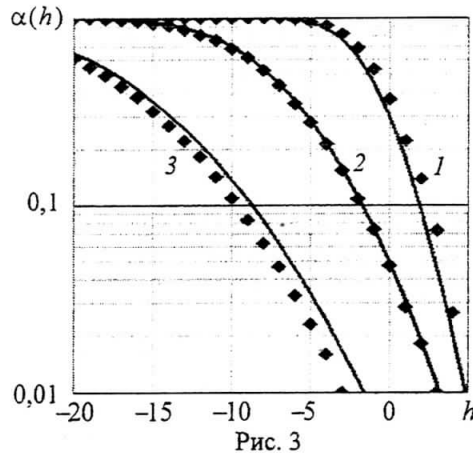


Рис. 3

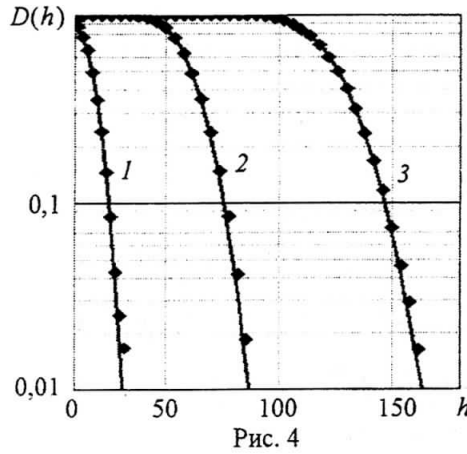


Рис. 4

Из анализа кривых (рис. 1, 2) возможно сделать вывод, что незнание истинных значений параметров изображения a_s и q_s может приводить к существенному проигрышу в эффективности обнаружения объекта по его изображению. Причем, если спектральные плотности изображения и фона занимают неперекрывающиеся области на плоскости пространственных частот, то указанный относительный проигрыш увеличивается как с ростом относительной интенсивности мешающего фона q_v , так и с ростом истинного значения относительной интенсивности полезного изображения q_{s0} . Вместе с тем, с уменьшением требуемой вероятности ложной тревоги относительный проигрыш снижается.

С целью проверки работоспособности алгоритма обнаружения и установления границ применимости полученных асимптотических анали-

тических выражений для характеристик обнаружения проведено статистическое моделирование. При моделировании предполагалось, что изображение представляет собой квадрат с площадью $\chi_0 = 4\chi_{\min}$, а диапазон возможных значений неизвестной площади $\chi_{\max} / \chi_{\min} = 9$. Математические ожидания и интенсивности изображения и фона выбраны одинаковыми $a_s = a_v = 0$, $q_s = q_v = q$, так, что обнаружение осуществлялось за счет различия спектральных характеристик изображения и фона. При этом формы областей, занимаемых спектральными плотностями изображения и фона, выбраны прямоугольными. Степень перекрытия этих областей характеризовалась коэффициентом $\varphi = 0,1$.

На рис. 3, 4 приведены зависимости вероятности ложной тревоги $\alpha(h)$ (рис. 3) и правильного обнаружения $D(h) = 1 - \beta(h)$ (рис. 4)

от порога h при $\mu_s = \mu_v = \mu = 10^3$. Сплошными линиями показаны зависимости, рассчитанные с использованием формул (13) и (14), ромбами — результаты моделирования для соответствующих параметров. Кривые 1, 2, 3 рассчитаны при $q = 0, 1, 0, 2, 0, 3$, соответственно. Рис. 3 показывает удовлетворительное согласование результатов расчетов по (13) с результатами моделирования. Соответственно рис. 4 показывает, что вероятность пропуска сигнала (14) (или правильного обнаружения), полученная для случая известных параметров a_s и q_s удовлетворительно описывает синтезированный алгоритм максимального правдоподобия при неизвестных a_s, q_s и $\mu \gg 1$.

Таким образом, получена структура алгоритма максимального правдоподобия обнаружения стохастического изображения с неизвестными площадью, математическим ожиданием и интенсивностью. Найдены характеристики алгоритма. Показано, что при достаточно больших величинах числа степеней свободы изображения и фона незнание интенсивности и математического ожидания изображения оказывает основное влияние на вероятность ошибок ложной тревоги, тогда как вероятности пропуска сигнала асимптотически одинаковы как при известных, так и при неизвестных параметрах изображения. Для проверки работоспособности алгоритма и подтверждения полученных результатов проведено статистическое моделирование алгоритма обнаружения.

Поступила в редакцию 08.07.2013

БИБЛИОГРАФИЧЕСКИЙ СПИСОК

1. Бычков А. А. Обнаружение изображений пространственно протяженных затеняющих фон объектов / А. А. Бычков, В. А. Понькин // *Автометрия*. — 1992. — № 4. — С. 33–40. — Режим доступа : http://www.iae.nsk.su/images/stories/5_Autometria/5_Archives/1992/4/33-40.pdf.
2. Перетягин Г. И. Представление изображений гауссовскими случайными полями / Г. И. Перетягин // *Автометрия*. — 1984. — № 6. — С. 42–48. — Режим доступа : http://www.iae.nsk.su/images/stories/5_Autometria/5_Archives/1984/6/42-48.pdf.
3. Трифонов А. П. Обнаружение объектов с неизвестной площадью при наличии фона / А. П. Трифонов, Ю. Н. Прибытков // *Автометрия*. — 2005. — Т. 41, № 4. — С. 24–39. — Режим доступа : http://www.iae.nsk.su/images/stories/5_Autometria/5_Archives/2005/4/24-39.pdf.
4. Трифонов А. П. Оценка площади стохастических объектов по изображению при наличии фона / А. П. Трифонов, Ю. Н. Прибытков // *Автометрия*. — 2010. — Т. 46, № 2. — С. 49–57. — Режим доступа : http://www.iae.nsk.su/images/stories/5_Autometria/5_Archives/2010/2/05.pdf.
5. Трифонов А. П. Обнаружение стохастического изображения с неизвестными параметрами / А. П. Трифонов, Ю. Н. Прибытков // *Радиоэлектроника*. — 2002. — Т. 45, № 9. — С. 10–20. — (Известия вузов).
6. Теория обнаружения сигналов / П. С. Акимов, П. А. Бакут, В. А. Богданович [и др.] ; под ред. П. А. Бакута. — М. : Радио и связь, 1984. — 440 с.
7. Трифонов А. П. Обнаружение стохастических сигналов с неизвестными параметрами / А. П. Трифонов, Е. П. Нечаев, В. И. Парфенов ; под ред. А. П. Трифонова. — Воронеж : ВГУ, 1991. — 246 с.
8. Тихонов В. И. Марковские процессы / В. И. Тихонов, М. А. Миронов. — М. : Радио и связь, 1977. — 488 с.

После переработки 17.12.2013